

Inhaltsverzeichnis

I	Grundbegriffe	1
1	Wahrscheinlichkeitsräume	1
2	Bedingte Wahrscheinlichkeiten und Unabhängigkeit	7
3	Reellwertige Zufallsvariablen	11
II	Stochastische Simulation	17
1	Die Methode der direkten Simulation	17
2	Zufallszahlen	19
3	Die Inversionsmethode	24
III	Diskrete Modelle	27
1	Wahrscheinlichkeitsfunktionen	27
2	Elementare Kombinatorik	28
3	Produkträume	31
4	Diskrete Zufallsvariablen	33
5	Die symmetrische Bernoulli-Irrfahrt	44

folgt

$$P(\{X = \alpha\}) = 0.$$

Die Mengen $\{X = \alpha\}$ mit $\alpha \in S$ sind p.d. Ist Ω abzählbar, so gilt

$$\Omega = \bigcup_{\alpha \in S_0} \{X = \alpha\}$$

mit einer abzählbaren Menge $S_0 \subset S$. Damit ergibt sich der Widerspruch

$$1 = P(\Omega) = \sum_{\alpha \in S_0} P(\{X = \alpha\}) = 0.$$

5 Die symmetrische Bernoulli-Irrfahrt

Definition 1. X heißt *symmetrisch Bernoulli-verteilt*, falls

$$P(\{X = 1\}) = P(\{X = -1\}) = 1/2.$$

Bez.: $X \sim \mathbf{SB}$.

Im folgenden seien Y_1, \dots, Y_T iid mit $Y_1 \sim \mathbf{SB}$. Der Einfachheit halber gelte $Y_j(\Omega) = \{-1, 1\}$ für alle $j \in \{1, \dots, T\}$. Wir setzen $S_0 := 0$ und

$$S_t := \sum_{j=1}^t Y_j = S_{t-1} + Y_t$$

für $t \in \{1, \dots, T\}$.

Definition 2. $(S_t)_{t \in \{0, \dots, T\}}$ heißt *symmetrische Bernoulli-Irrfahrt* (mit Zeithorizont T).

Im folgenden $(S_t)_{t \in \{0, \dots, T\}}$ wie oben.

$(S_t)_{t \in \{0, \dots, T\}}$ ist das einfachste Beispiel eines stochastischen Prozesses zur Modellierung zeitabhängiger zufälliger Phänomene. Anwendungen z. Bsp.

- Physik, S_t eine Koordinate der Position eines Teilchen nach t Kollisionen,
- faires Spiel zweier Spieler I und II, S_t Stand aus Sicht von I nach t Runden, siehe Beispiel II.1.3.

Ausblick: Irrfahrten auf Gruppen. Finanzmathematik: $]0, \infty[$ mit Multiplikation, Kartenspielen: symmetrische Gruppe mit Komposition.

In den Abbildungen III.11–III.13 zeigen wir je eine Simulation der Irrfahrt für $T = 50, 100, 1000$. Siehe Beispiel II.3.7 zur Simulation der Zufallsvariablen Y_t .

Nun: Gedächtnislosigkeit der Irrfahrt (Markov-Eigenschaft), siehe auch Georgii (2007, Kap. 6) und Krengel (2000, Kap. 15).

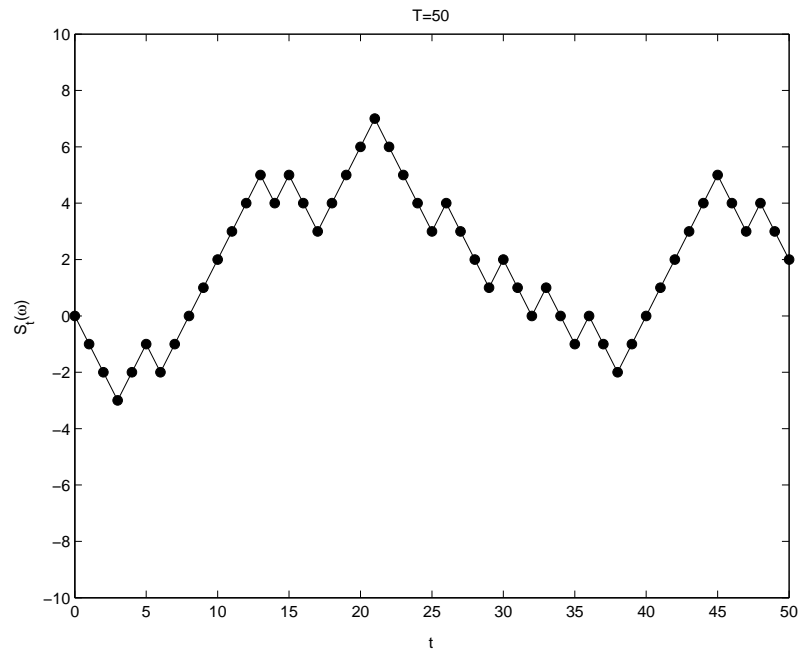


Abbildung III.11: $T = 50$, end=2, max=7, fueh=36

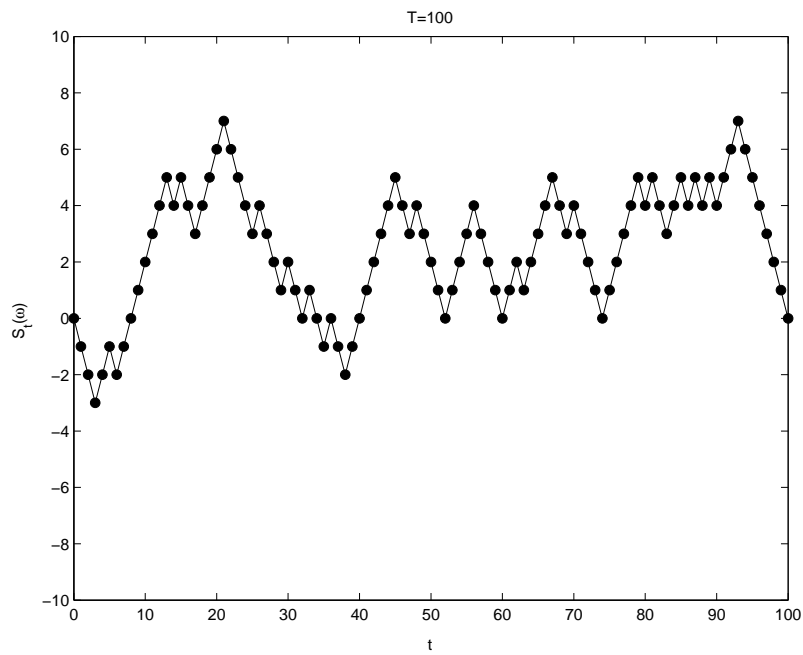
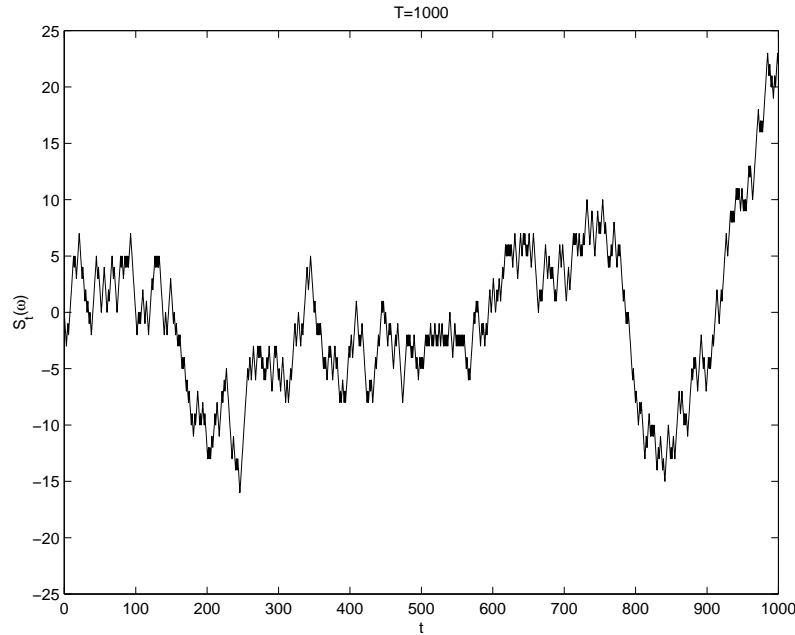


Abbildung III.12: $T = 100$, end=0, max=7, fueh=86

Abbildung III.13: $T = 1000$, end=22, max=23, fueh=420

Lemma 3. Für $t \in \{1, \dots, T-1\}$, $A \subseteq \{-1, 1\}^t$ und $B \subseteq \{-1, 1\}^{T-t}$ gilt

$$\begin{aligned} P(\{(Y_1, \dots, Y_t) \in A\} \cap \{(Y_{t+1}, \dots, Y_T) \in B\}) \\ &= P(\{(Y_1, \dots, Y_t) \in A\}) \cdot P(\{(Y_{t+1}, \dots, Y_T) \in B\}) \\ &= P(\{(Y_1, \dots, Y_t) \in A\}) \cdot P(\{(Y_1, \dots, Y_{T-t}) \in B\}). \end{aligned}$$

Beweis. Siehe ÜBUNG 3:H9 für eine allgemeinere Aussage im Fall von Zufallsvariablen mit Werten in \mathbb{Z} . Siehe auch Irlé ([2001](#), p. 163, 169). \square

Satz 4. Für $t \in \{1, \dots, T-1\}$ und $s \in \mathbb{Z}^t$ mit $P(\{(S_1, \dots, S_t) = s\}) > 0$ gilt für alle $B \subseteq \mathbb{Z}^{T-t}$

$$\begin{aligned} P(\{(S_{t+1}, \dots, S_T) \in B\} \mid \{(S_1, \dots, S_t) = s\}) &= P(\{(S_{t+1}, \dots, S_T) \in B\} \mid \{S_t = s_t\}) \\ &= P(\{(S_1, \dots, S_{T-t}) \in B - (s_t, \dots, s_t)\}). \end{aligned}$$

Beweis. Sei t wie oben und sei $s \in \mathbb{Z}^t$. Betrachte den Spezialfall $B = \{z\}$ mit

$$z = (z_{t+1}, \dots, z_T) \in \mathbb{Z}^{T-t}.$$

Setze $z_t = s_t$. Lemma 3 zeigt

$$\begin{aligned}
& P(\{(S_{t+1}, \dots, S_T) = z\} \cap \{(S_1, \dots, S_t) = s\}) \\
&= P\left(\bigcap_{j=1}^t \{Y_j = s_j - s_{j-1}\} \cap \bigcap_{j=t+1}^T \{Y_j = z_j - z_{j-1}\}\right) \\
&= P(\{(S_1, \dots, S_t) = s\}) \cdot P\left(\bigcap_{j=1}^{T-t} \{Y_j = z_{j+t} - z_{j+t-1}\}\right) \\
&= P(\{(S_1, \dots, S_t) = s\}) \cdot \underbrace{P(\{(S_1, \dots, S_{T-t}) = (z_{t+1} - s_t, \dots, z_T - s_t)\})}_{=:q}.
\end{aligned}$$

Im Fall $t > 1$ erhalten wir hiermit

$$\begin{aligned}
& P(\{(S_{t+1}, \dots, S_T) = z\} \cap \{S_t = s_t\}) \\
&= \sum_{w \in \mathbb{Z}^{t-1}} P(\{(S_{t+1}, \dots, S_T) = z\} \cap \{(S_1, \dots, S_t) = (w, s_t)\}) \\
&= \sum_{w \in \mathbb{Z}^{t-1}} P(\{(S_1, \dots, S_t) = (w, s_t)\}) \cdot q \\
&= P(\{S_t = s_t\}) \cdot q.
\end{aligned}$$

Hieraus folgt die Behauptung für $B = \{z\}$.

Zum Beweis des allgemeinen Falles schreibe man B als Vereinigung einelementiger Mengen. \square

Beispiel 5. Für t und s wie oben und $k \in \mathbb{Z}$ gilt

$$P(\{S_T = k\} \mid \{(S_1, \dots, S_t) = s\}) = P(\{S_T = k\} \mid \{S = s_t\}) = P(\{S_{T-t} = k - s_t\}).$$

Nun: eine zweite Sicht auf die Irrfahrt. Setze dazu $s_0 := 0$ und

$$D := \{(s_0, \dots, s_T) \in \mathbb{Z}^{T+1} : \forall 1 \leq t \leq T : |s_t - s_{t-1}| = 1\}.$$

Satz 6. Es gilt $|D| = 2^T$ und

$$P(\{(S_0, \dots, S_T) = s\}) = 1/|D|$$

für alle $s \in D$.

Beweis. Der Übergang von Partialsummen zu Inkrementen zeigt

$$|D| = |\{-1, 1\}^T| = 2^T,$$

und

$$\{(S_0, \dots, S_T) = s\} = \bigcap_{t=1}^T \{Y_t = s_t - s_{t-1}\}.$$

Für $s \in D$ folgt $P(\{(S_0, \dots, S_T) = s\}) = 2^{-T}$. \square

Fazit: eine Irrfahrt entspricht der Gleichverteilung auf der Menge D ihrer Pfade. Dies ermöglicht den Einsatz kombinatorischer Methoden zum Studium der Irrfahrt.

Wir bestimmen die Verteilungsfunktionen folgender Zufallsvariablen:

- (i) Spielstand nach der letzten Runde, $X := S_T$,
- (ii) maximaler Spielstand, $X := \max_{t=0, \dots, T} S_t$,
- (iii) Anzahl der Runden, nach denen Spieler I führt,

$$X := |\{t \in \{1, \dots, T\} : S_t \geq 0 \text{ und } S_{t-1} \geq 0\}|.$$

Beachte

$$\{S_t \geq 0\} \cap \{S_{t-1} \geq 0\} = \{S_t > 0\} \cup (\{S_t = 0\} \cap \{S_{t-1} > 0\}).$$

Definiere Abbildung $f : D \rightarrow \mathbb{Z}$

- (i) $f(s_0, \dots, s_T) = s_T$,
- (ii) $f(s_0, \dots, s_T) = \max_{t=0, \dots, T} s_t$,
- (iii) $f(s_0, \dots, s_T) = |\{t \in \{1, \dots, T\} : s_t \geq 0 \text{ und } s_{t-1} \geq 0\}|$.

Somit

$$X = f \circ (S_0, \dots, S_T).$$

Gesucht ist

$$P(\{X = k\})$$

für $k \in \mathbb{Z}$. Siehe auch Širjaev (1988, Kap. 1.10).

Bemerkung 7. Die Simulation von n unabhängigen Wiederholungen der Irrfahrt geschieht folgendermaßen. Betrachte eine iid-Folge $Y'_1, \dots, Y'_{n \cdot T}$ mit $Y'_1 \sim \mathbf{SB}$. Definiere für $t = 0, \dots, T$ und $i = 1, \dots, n$

$$S'_{i,t} := \sum_{j=1}^t Y'_{(i-1) \cdot T + j}.$$

Also

$$\begin{array}{ccc} \underbrace{Y'_1, \dots, Y'_T} & \cdots & \underbrace{Y'_{(n-1) \cdot T + 1}, \dots, Y'_{n \cdot T}} \\ \downarrow & & \downarrow \\ \underbrace{S'_{1,0}, \dots, S'_{1,T}} & \cdots & \underbrace{S'_{n,0}, \dots, S'_{n,T}} \\ \downarrow f & & \downarrow f \\ X'_1 & \cdots & X'_n \end{array}$$

Dann sind X'_1, \dots, X'_n iid und X'_1 und X sind identisch verteilt, siehe Lemma 3. Erzeuge eine Realisierung $y'_1, \dots, y'_{n \cdot T}$ von $Y'_1, \dots, Y'_{n \cdot T}$, setze

$$s'_{i,t} := \sum_{j=1}^t y'_{(i-1) \cdot T + j},$$

und approximiere die gesuchten Wahrscheinlichkeiten $P(\{X = k\})$ durch die relative Häufigkeiten

$$\frac{1}{n} \cdot \sum_{i=1}^n 1_{\{k\}}(f(s'_{i,0}, \dots, s'_{i,T}))$$

der Simulationen, bei denen f den Wert k liefert.

Im folgenden zeigen wir Simulationsergebnisse für

$$T = 50.$$

Beachte: Für die Menge D der Pfade gilt in diesem Fall

$$|D| = 2^{50} = 1.1 \dots \cdot 10^{15}.$$

Dargestellt wird

$$k \mapsto \frac{1}{n} \cdot \sum_{i=1}^n 1_{\{k\}}(f(s'_{i,0}, \dots, s'_{i,T})).$$

Die Abbildungen III.14 und III.15 zeigen Approximationen für $P(\{S_T = k\})$ auf der Basis von $n = 10^3$ und $n = 10^5$ Wiederholungen.

Satz 8. Für $t \in \{1, \dots, T\}$ und $k \in \{-t, -t+2, \dots, t-2, t\}$ gilt

$$P(\{S_t = k\}) = \binom{t}{(k+t)/2} \cdot 2^{-t}.$$

Beweis. Mit $U_j := (Y_j + 1)/2$ und $R := \sum_{j=1}^t U_j$ gilt

$$S_t = \sum_{j=1}^t Y_j = \sum_{j=1}^t (2 \cdot U_j - 1) = 2 \cdot R - t.$$

Da U_1, \dots, U_t unabhängig und $U_1 \sim \mathbf{B}(1, p)$, folgt $R \sim \mathbf{B}(t, p)$. Somit

$$P(\{S_t = k\}) = P(\{R = (k+t)/2\}).$$

□

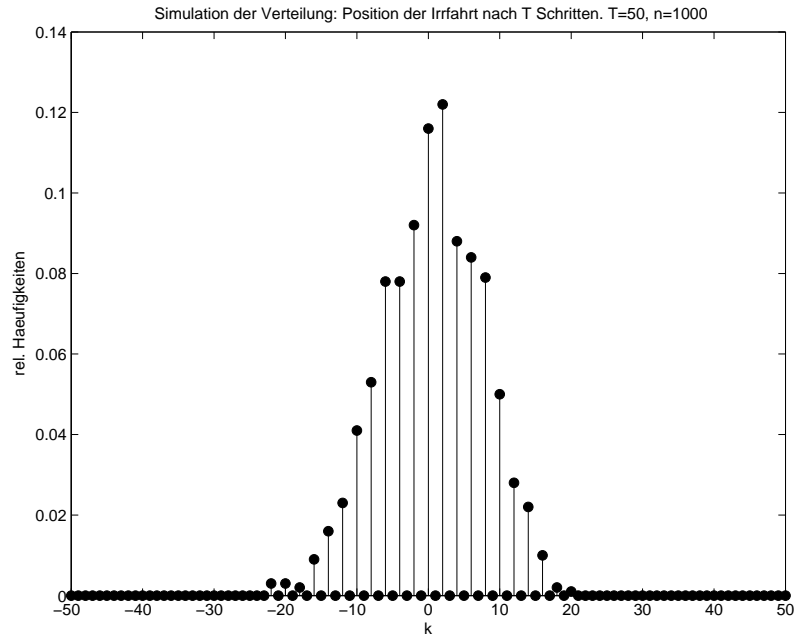


Abbildung III.14: Approximation für $P(\{S_T = k\})$, $n = 10^3$ Wdh.

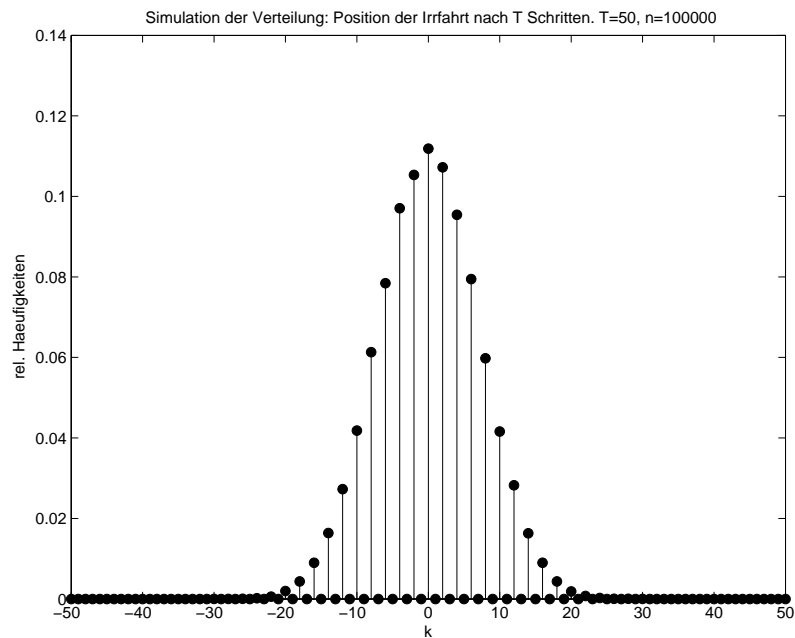


Abbildung III.15: Approximation für $P(\{S_T = k\})$, $n = 10^5$ Wdh.

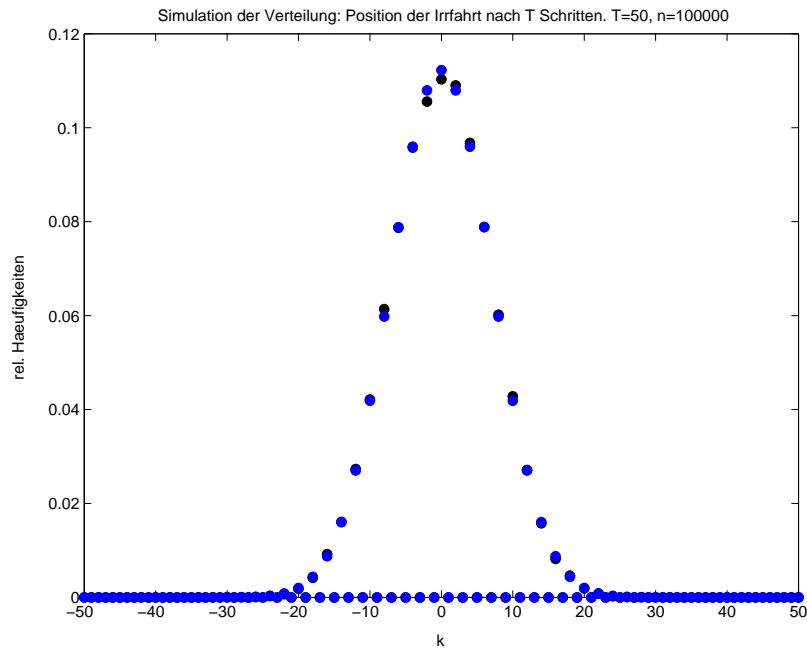


Abbildung III.16: $P(\{S_T = k\})$, exakte Werte und Approximation, $n = 10^5$ Wdh.

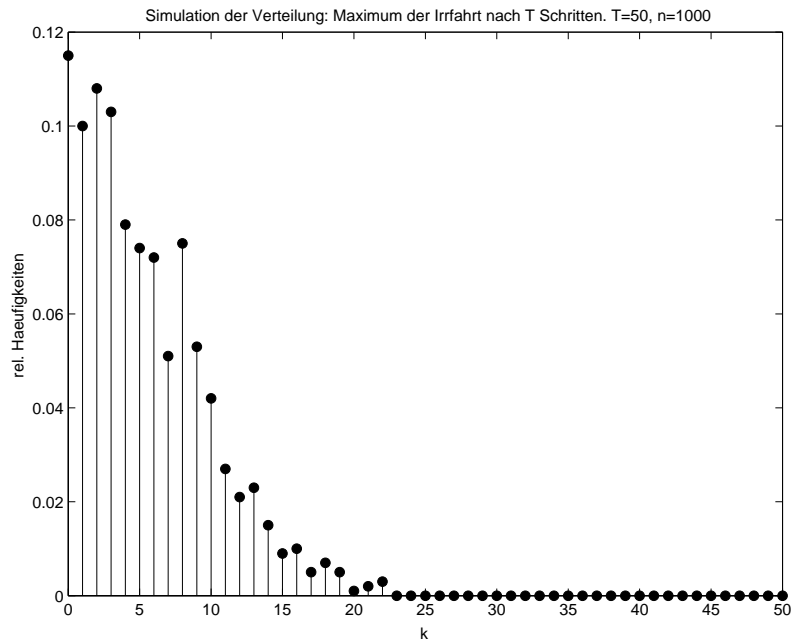


Abbildung III.17: Approximation für $P(\{\max_{t=0, \dots, T} S_t = k\})$, $n = 10^3$ Wdh.

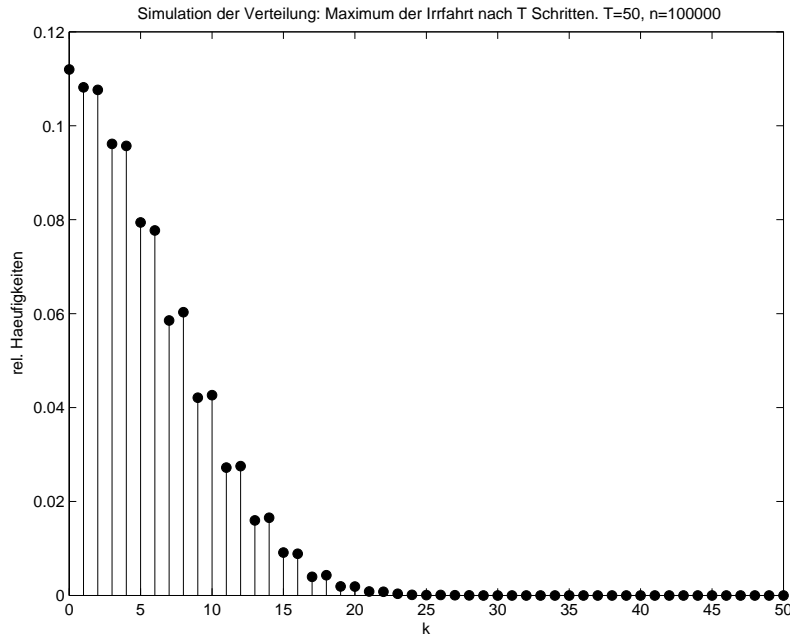


Abbildung III.18: Approximation für $P(\{\max_{t=0,\dots,T} S_t = k\})$, $n = 10^5$ Wdh.

Abbildung III.16 zeigt für $P(\{S_T = k\})$ einen Vergleich der exakten Werten (blau) mit Simulationsergebnissen (schwarz) auf der Basis von $n = 10^5$ Wiederholungen.

Die Abbildungen III.17 und III.18 zeigen Approximationen für $P(\{\max_{t=0,\dots,T} S_t = k\})$ auf der Basis von $n = 10^3$ und $n = 10^5$ Wiederholungen.

Satz 9. Für $t \in \{1, \dots, T\}$ und $k \in \{0, \dots, t\}$ gilt

$$P(\{\max_{j=0,\dots,t} S_j = k\}) = P(\{S_t = k\}) + P(\{S_t = k + 1\}).$$

Beweis. Verwende die Bezeichnung aus Satz 6. Fixiere $k \in \{0, \dots, t\}$ und definiere

$$\tau(s) := \inf\{j \in \{0, \dots, t\} : s_j = k\}.$$

Betrachte die Spiegelung der Pfade $s \in D$ an (k, \dots, k) , definiere also $\mathcal{R} : D \rightarrow D$ durch

$$(\mathcal{R}(s))_j := \begin{cases} s_j, & \text{falls } j \leq \tau(s), \\ 2 \cdot k - s_j, & \text{falls } j > \tau(s). \end{cases}$$

Für jedes $\ell \in \mathbb{Z}$ mit $\ell \leq k$ definiert \mathcal{R} eine Bijektion zwischen

$$\{s \in D : \max_{j=0,\dots,t} s_j \geq k \wedge s_t = \ell\}$$

und

$$\{s \in D : s_t = 2 \cdot k - \ell\}.$$

Dieses sogenannte Spiegelungsprinzip liefert zusammen mit Satz 6

$$P(\{\max_{j=0,\dots,t} S_j \geq k\} \cap \{S_t = \ell\}) = P(\{S_t = 2 \cdot k - \ell\}).$$

Es folgt

$$\begin{aligned} & P(\{\max_{j=0,\dots,t} S_j = k\}) \\ &= \sum_{\ell=-t}^k P(\{\max_{j=0,\dots,t} S_j = k\} \cap \{S_t = \ell\}) \\ &= \sum_{\ell=-t}^k \left(P(\{\max_{j=0,\dots,t} S_j \geq k\} \cap \{S_t = \ell\}) - P(\{\max_{j=0,\dots,t} S_j \geq k+1\} \cap \{S_t = \ell\}) \right) \\ &= \sum_{\ell=-t}^k \left(P(\{S_t = 2 \cdot k - \ell\}) - P(\{S_t = 2 \cdot k + 2 - \ell\}) \right) \\ &= \sum_{\ell=k}^t P(\{S_t = \ell\}) - \sum_{\ell=k+2}^t P(\{S_t = \ell\}) \\ &= P(\{S_t = k\}) + P(\{S_t = k+1\}). \end{aligned}$$

□

Abbildung III.19 zeigt für $P(\{\max_{t=0,\dots,T} S_t = k\})$ einen Vergleich der exakten Werten (blau) mit Simulationsergebnissen (schwarz) auf der Basis von $n = 10^5$ Wiederholungen.

Bemerkung 10. Satz 9 zeigt die überraschende Beziehung

$$P(\{\max_{j=0,\dots,t} S_j \leq k\}) = P(\{|S_t| \leq k\}),$$

falls $k = t \pmod{2}$. Die Sätze 8 und 9 liefern die explizite Formel

$$P(\{\max_{j=0,\dots,t} S_j = k\}) = \begin{cases} \binom{t}{(k+t)/2} \cdot 2^{-t}, & \text{falls } k = t \pmod{2}, \\ \binom{t}{(k+1+t)/2} \cdot 2^{-t}, & \text{falls } k \neq t \pmod{2} \end{cases}$$

für $k \in \{0, \dots, t\}$.

Im folgenden sei T gerade.

Wir betrachten

$$X_T := |\{t \in \{1, \dots, T\} : S_t \geq 0 \text{ und } S_{t-1} \geq 0\}|.$$

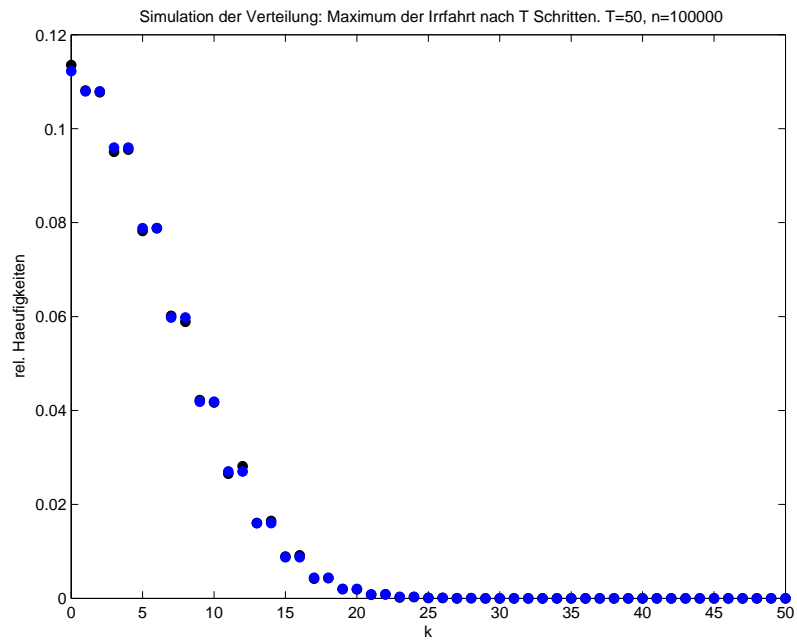


Abbildung III.19: $P(\{\max_{t=0,\dots,T} S_t = k\})$, exakte Werte und Approx., $n = 10^5$ Wdh.

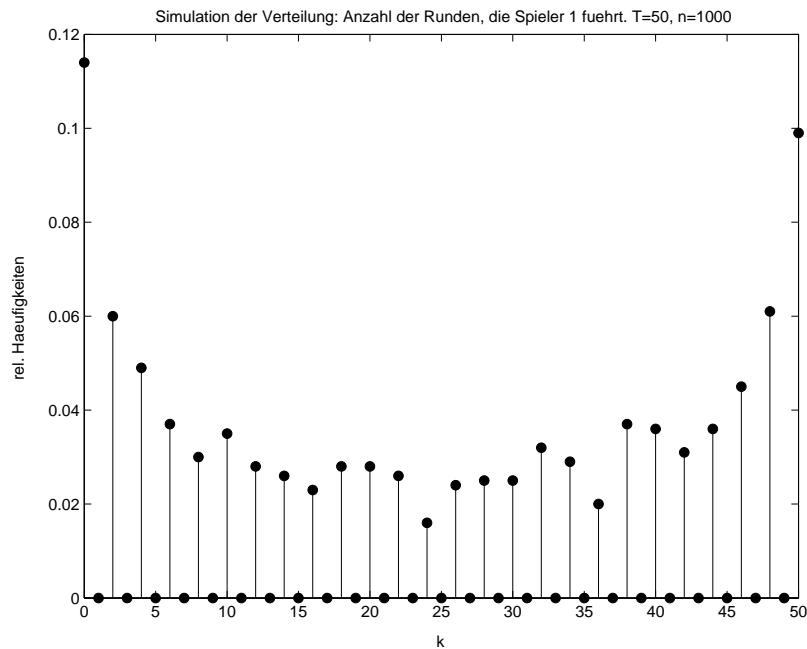


Abbildung III.20: Approximation für $P(\{X_T = k\})$, $n = 10^3$ Wdh.

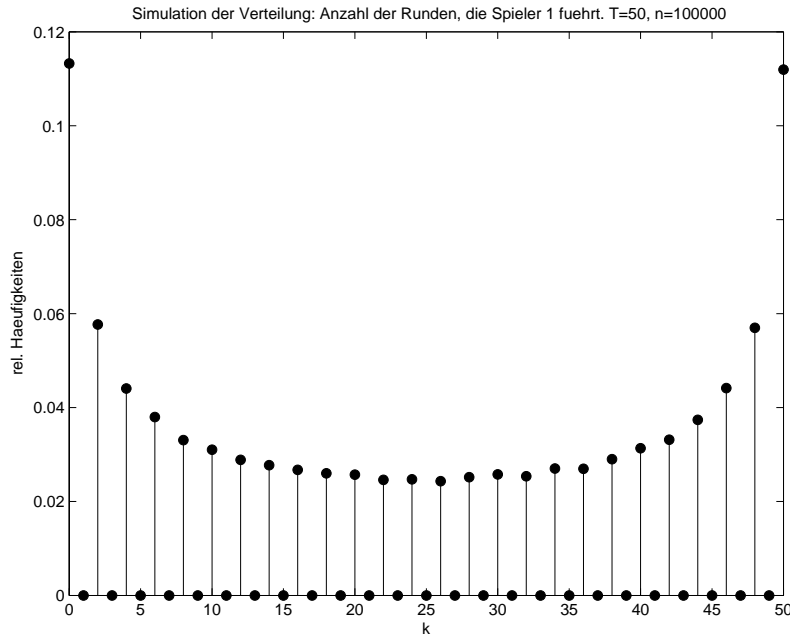


Abbildung III.21: Approximation für $P(\{X_T = k\})$, $n = 10^5$ Wdh.

Bemerkung 11. $P(\{X_T = x\}) = 0$, falls x ungerade.

Die Abbildungen III.20 und III.21 zeigen Approximationen für $P(\{X_T = k\})$ auf der Basis von $n = 10^3$ und $n = 10^5$ Wiederholungen. Wie sehen ein völlig überraschendes Monotonieverhalten.

Wir setzen

$$\tau_T := \inf\{t \in \{1, \dots, T\} : S_t = 0\} = \inf\{t \in \{2, 4, \dots, T\} : S_t = 0\}.$$

Falls die Irrfahrt bis zur Zeit T nicht zum Startwert zurückkehrt, liefert die Zufallsvariable τ_T den Wert ∞ . Andernfalls gibt τ_T den ersten Zeitpunkt der Rückkehr an. Vgl. Beispiel 4.15.

Lemma 12. Für $k \in \{1, \dots, T/2\}$ gilt

$$\sum_{\ell=1}^k P(\{\tau_T = 2\ell\}) \cdot P(\{S_{2k-2\ell} = 0\}) = P(\{S_{2k} = 0\}).$$

Beweis. Es gilt

$$\{S_{2k} = 0\} = \bigcup_{\ell=1}^k \{S_{2k} = 0\} \cap \{\tau_T = 2\ell\}$$

und

$$\{S_{2k} = 0\} \cap \{\tau_T = 2\ell\} = \{\tau_T = 2\ell\} \cap \left\{ \sum_{j=2\ell+1}^{2k} Y_j = 0 \right\}.$$

Mit Lemma 3 folgt

$$\begin{aligned} P(\{S_{2k} = 0\}) &= \sum_{\ell=1}^k P(\{\tau_T = 2\ell\}) \cdot P\left(\left\{\sum_{j=1}^{2k-2\ell} Y_j = 0\right\}\right) \\ &= \sum_{\ell=1}^k P(\{\tau_T = 2\ell\}) \cdot P(\{S_{2k-2\ell} = 0\}). \end{aligned}$$

□

Satz 13. Für $k \in \{0, \dots, T/2\}$ gilt

$$P(\{X_T = 2k\}) = P(\{S_{2k} = 0\}) \cdot P(\{S_{T-2k} = 0\}).$$

Beweis. Setze

$$h(y_{2\ell+1}, \dots, y_{2m}) := \left| \left\{ t \in \{2\ell+1, \dots, 2m\} : \sum_{j=2\ell+1}^t y_j \geq 0 \text{ und } \sum_{j=2\ell+1}^{t-1} y_j \geq 0 \right\} \right|$$

für $\ell, m \in \{0, \dots, T/2\}$ mit $\ell < m$. Per Induktion nach $m \in \{1, \dots, T/2\}$ zeigen wir, daß

$$P(\{h(Y_1, \dots, Y_{2m}) = 2k\}) = P(\{S_{2k} = 0\}) \cdot P(\{S_{2m-2k} = 0\})$$

für alle $k \in \{0, \dots, m\}$ gilt.

Setze

$$A_{k,m} := \{h(Y_1, \dots, Y_{2m}) = 2k\}$$

für $k \in \mathbb{Z}$. Klar: $A_{k,m} = \emptyset$, falls $k < 0$ oder $k > m$. Für $k = 0$ und $k = m$ erhalten wir aufgrund von Satz 9

$$P(A_{0,m}) = P(A_{m,m}) = P(\{\max_{t=0, \dots, 2m} S_t = 0\}) = P(\{S_{2m} = 0\}) \cdot P(\{S_0 = 0\}),$$

was insbesondere die Induktionsverankerung beinhaltet.

Gelte $m > 1$ und sei $k \in \{1, \dots, m-1\}$. Dann

$$A_{k,m} = \bigcup_{\ell=1}^{m-1} \underbrace{A_{k,m} \cap \{\tau_T = 2\ell\}}_{=: B_\ell}.$$

Setze $A_- := \{\tau_T = 2\ell\} \cap \{S_1 = -1\}$ und $A_+ := \{\tau_T = 2\ell\} \cap \{S_1 = 1\}$. Dann

$$\begin{aligned} B_\ell &= A_{k,m} \cap A_- \cup A_{k,m} \cap A_+ \\ &= \{h(Y_{2\ell+1}, \dots, Y_{2m}) = 2k\} \cap A_- \cup \{h(Y_{2\ell+1}, \dots, Y_{2m}) = 2k - 2\ell\} \cap A_+. \end{aligned}$$

Es gilt $P(A_-) = P(A_+) = 1/2 \cdot P(\{\tau_T = 2\ell\})$. Lemma 3 sichert

$$P(B_\ell) = 1/2 \cdot P(\{\tau_T = 2\ell\}) \cdot (P(A_{k,m-\ell}) + P(A_{k-\ell,m-\ell})).$$

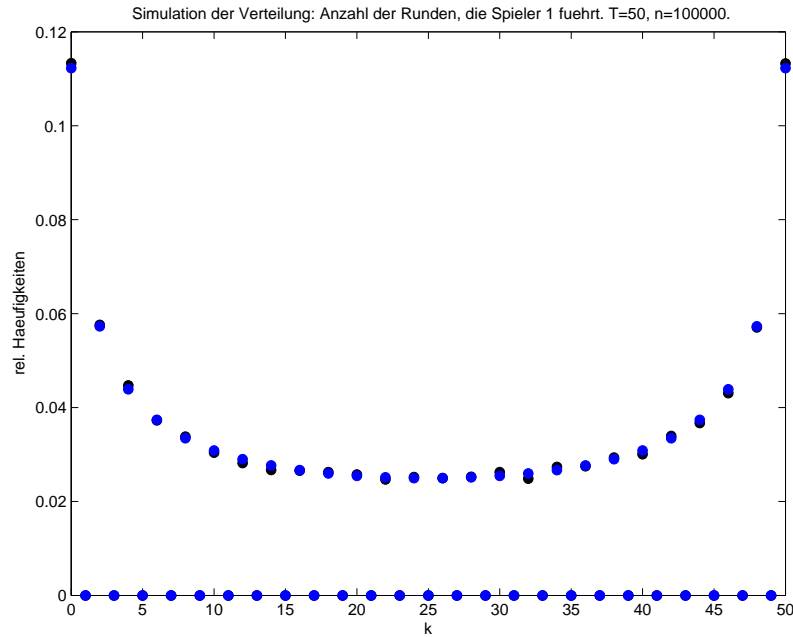


Abbildung III.22: $P(\{X_T = k\})$, exakte Werte und Approximation, $n = 10^5$ Wdh.

Fazit

$$\begin{aligned}
 P(A_{k,m}) &= \frac{1}{2} \cdot \sum_{\ell=1}^{m-1} P(\{\tau_T = 2\ell\}) \cdot (P(A_{k,m-\ell}) + P(A_{k-\ell,m-\ell})) \\
 &= \frac{1}{2} \cdot \sum_{\ell=1}^{m-k} P(\{\tau_T = 2\ell\}) \cdot P(A_{k,m-\ell}) + \frac{1}{2} \cdot \sum_{\ell=1}^k P(\{\tau_T = 2\ell\}) \cdot P(A_{k-\ell,m-\ell}).
 \end{aligned}$$

Wende Lemma 12 und die Induktionsannahme an. □

Abbildung III.22 zeigt für $P(\{X_T = k\})$ einen Vergleich der exakten Werte (blau) mit Simulationsergebnissen (schwarz) auf der Basis von $n = 10^5$ Wiederholungen.

Jetzt: asymptotische Betrachtungen.

Bezeichnung. $a_n \approx b_n$ (asymptotische Äquivalenz) für Folgen von Zahlen $a_n, b_n > 0$, falls

$$\lim_{n \rightarrow \infty} a_n/b_n = 1.$$

Lemma 14 (Stirlingsche Formel). Es gilt

$$n! \approx \sqrt{2\pi n} \cdot (n/e)^n.$$

Korollar 15. Es gilt

$$P(\{S_{2n} = 0\}) \approx \frac{1}{\sqrt{\pi n}}.$$

Beweis. Satz 8 und Lemma 14 zeigen für $T = 2n$

$$\begin{aligned} P(\{S_{2n} = 0\}) &= 2^{-2n} \cdot \binom{2n}{n} \\ &\approx 2^{-2n} \cdot \frac{\sqrt{2\pi \cdot 2n} \cdot (2n)^{2n} \cdot \exp(-2n)}{(\sqrt{2\pi n} \cdot n^n \cdot \exp(-n))^2} \\ &= \sqrt{1/(\pi n)}. \end{aligned}$$

□

Korollar 16. Es gilt

$$\frac{P(\{X_{4n} = 4n\})}{P(\{X_{4n} = 2n\})} \approx \sqrt{\pi n/2}.$$

Beweis. Satz 13 und Korollar 15 zeigen für $T = 4n$

$$\frac{P(\{X_{4n} = 4n\})}{P(\{X_{4n} = 2n\})} = \frac{P(\{S_{4n} = 0\})}{(P(\{S_{2n} = 0\}))^2} \approx \frac{\sqrt{1/(\pi \cdot 2n)}}{1/(\pi n)} = \sqrt{\pi n/2}.$$

□

Beispiel 17. Für $T = 1000$ gilt $\sqrt{\pi T/8} = 19.8166\dots$ und

$$\frac{P(\{X_{1000} = 1000\})}{P(\{X_{1000} = 500\})} = 19.8315\dots$$

Nun betrachten wir den relativen Anteil

$$Z_T := \frac{1}{T} \cdot |\{t \in \{1, \dots, T\} : S_t \geq 0 \text{ und } S_{t-1} \geq 0\}|$$

der Runden, nach denen Spieler I führt.

Wir vergleichen die Verteilungsfunktionen von Z_T für $T = 50, 100$ und 1000 , siehe Abbildung. Vermutung: Konvergenz. Bestätigung und Bestimmung des Grenzwertes folgt.

Dazu sei

$$f(y) := \frac{1}{\pi \cdot \sqrt{y \cdot (1-y)}}, \quad 0 < y < 1,$$

und

$$F(x) = \int_0^x f(y) dy, \quad x \in [0, 1].$$

Bemerkung 18. Es gilt

$$F(x) = \frac{2}{\pi} \cdot \arcsin(\sqrt{x})$$

und somit insbesondere $\int_0^1 f(y) dy = 1$.

Satz 19 (Arcussinus-Gesetz). Für alle $0 < u < v < 1$ gilt

$$\lim_{n \rightarrow \infty} P(\{u \leq Z_{2n} \leq v\}) = F(v) - F(u).$$

Beweis. Fixiere $0 < u < v < 1$ und setze

$$K_n := \{k \in \{0, \dots, n\} : u \leq k/n \leq v\}$$

sowie

$$a_{k,n} := P(\{S_{2k} = 0\}) \cdot P(\{S_{2n-2k} = 0\}),$$

für $k \in K_n$. Satz 13 zeigt

$$P(\{u \leq Z_{2n} \leq v\}) = P(\{u \cdot 2n \leq X_{2n} \leq v \cdot 2n\}) = \sum_{k \in K_n} P(\{X_{2n} = 2k\}) = \sum_{k \in K_n} a_{k,n}.$$

Verwende Korollar 15 und $\lim_{n \rightarrow \infty} \inf K_n = \lim_{n \rightarrow \infty} \inf\{n - k : k \in K_n\} = \infty$ um

$$\lim_{n \rightarrow \infty} \sup_{k \in K_n} \left| \frac{n \cdot a_{k,n}}{f(k/n)} - 1 \right| = 0 \quad (1)$$

zu erhalten. Aufgrund der Stetigkeit von f auf $[u, v]$ gilt

$$\lim_{n \rightarrow \infty} \sum_{k \in K_n} \frac{f(k/n)}{n} = \int_u^v f(y) dy.$$

Es folgt

$$\lim_{n \rightarrow \infty} \left| \sum_{k \in K_n} a_{k,n} - \sum_{k \in K_n} \frac{f(k/n)}{n} \right| \leq \lim_{n \rightarrow \infty} \sum_{k \in K_n} \left(\frac{f(k/n)}{n} \cdot \sup_{k \in K_n} \left| \frac{n \cdot a_{k,n}}{f(k/n)} - 1 \right| \right) = 0$$

und somit

$$\lim_{n \rightarrow \infty} P(\{u \leq Z_{2n} \leq v\}) = \int_u^v f(y) dy. \quad \square$$

Bemerkung 20. Gleichung (1) besagt, daß die reskalierten Wahrscheinlichkeiten $a_{k,n}$ lokal gleichmäßig gegen f konvergieren.

Korollar 21. Für alle $x \in [0, 1]$ gilt

$$\lim_{n \rightarrow \infty} P(\{Z_{2n} \leq x\}) = F(x).$$

Beweis. Für $x = 0$ folgt die Aussage aus Satz 13 und Korollar 15. Für $0 < x \leq 1$ wählen wir $0 < u < \min(x, 1/2)$. Da $P(\{Z_{2n} < u\}) = P(\{Z_{2n} > 1 - u\})$, folgt

$$P(\{Z_{2n} < u\}) = 1/2 \cdot (1 - P(\{u \leq Z_{2n} \leq 1 - u\})).$$

Satz 19 sichert

$$\lim_{n \rightarrow \infty} P(\{Z_{2n} < u\}) = F(u).$$

Wende Satz 19 an. □

Definition 22. Eine Zufallsvariable X mit der Verteilungsfunktion

$$F_X(x) = \frac{2}{\pi} \cdot \arcsin(\sqrt{x}), \quad x \in [0, 1],$$

heißt *arcussinus-verteilt*.

Bemerkung 23. Mit den Sätzen 4.12 und 19 und mit ÜBUNG haben wir einige Konvergenzsätze für Folgen diskreter Zufallsvariablen kennengelernt. Der zugrundeliegende Konvergenzbegriff wird in Abschnitt VII.3 allgemein gefaßt. In Satz 19 zeigt sich erstmals, daß eine nicht-diskrete Verteilung als Grenzwert einer Folge diskreter Verteilungen auftreten kann.

Wir bestimmen die Wahrscheinlichkeit dafür, daß die Irrfahrt bis zur Zeit $2k$ nicht zum Startwert zurückkehrt.

Satz 24. Für $k \in \{1, \dots, T/2\}$ gilt

$$P(\{\tau_T > 2k\}) = P(\{S_{2k} = 0\}).$$

Beweis. Es gilt

$$\begin{aligned} \{\tau_T > 2k\} &= \bigcap_{j=1}^{2k} \{S_j \neq 0\} \\ &= \left(\{S_1 = -1\} \cap \bigcap_{j=2}^{2k} \{S_j < 0\} \right) \cup \left(\{S_1 = 1\} \cap \bigcap_{j=2}^{2k} \{S_j > 0\} \right) \end{aligned}$$

Es folgt

$$P(\{\tau_T > 2k\}) = 2 \cdot P\left(\{S_1 = -1\} \cap \bigcap_{j=2}^{2k} \{S_j < 0\}\right).$$

Mit den Sätzen 4 und 9 ergibt sich

$$\begin{aligned} P\left(\bigcap_{j=2}^{2k} \{S_j < 0\} \mid \{S_1 = -1\}\right) &= P\left(\bigcap_{j=1}^{2k-1} \{S_j \leq 0\}\right) \\ &= P(\{\max_{j=0, \dots, 2k} S_j = 0\}) = P(\{S_{2k} = 0\}). \end{aligned}$$

□

Wie wahrscheinlich ist es nie zum Startwert zurückzukehren? Zur Untersuchung dieser Frage betrachten wir eine unabhängige Folge $(Y_t)_{t \in \mathbb{N}}$ mit $Y_1 \sim \mathbf{SB}$ und definieren die symmetrische Bernoulli-Irrfahrt mit unendlichem Zeithorizont durch $S_0 = 0$ sowie $S_t = S_{t-1} + Y_t$ für $t \in \mathbb{N}$. (Man beachte jedoch Bemerkung 4.18.)

Wir setzen

$$\tau_\infty := \inf\{t \in \mathbb{N} : S_t = 0\}.$$

Satz 25. Es gilt

$$P(\{\tau_\infty = \infty\}) = 0.$$

Beweis. Es gilt

$$\{\tau_\infty = \infty\} = \bigcap_{n=1}^{\infty} \{\tau_{2n} = \infty\}$$

und $\{\tau_{2n} = \infty\} \supset \{\tau_{2n+2} = \infty\}$, so daÙ

$$P(\{\tau_\infty = \infty\}) = \lim_{n \rightarrow \infty} P(\{\tau_{2n} = \infty\}) = \lim_{n \rightarrow \infty} P(\{S_{2n} = 0\})$$

mit den Sätzen I.1.17 und 24 folgt. Wende Korollar 15 an. □

Ausblick: Rekurrenz und Transienz in Dimension $d \in \mathbb{N}$.

Definitionen und Bezeichnungen

- Additivität, 6
- Arcussinus-Verteilung, 60
- bedingte Wahrscheinlichkeit, 7
- Bernoulli-Verteilung, 33
 - symmetrisch, 44
- Binomialverteilung, 35
- direkte Simulation, 19
- Ereignis, 1
- Ereignisraum, 1
- Ergebnis, 1
- Ergebnisraum, 1
- geometrische Verteilung, 41
- Gleichverteilung
 - diskret, 4
 - kontinuierlich, 19
- hypergeometrische Verteilung, 38
- Indikatorfunktion, 11
- Inversionsmethode, 25
- Irrfahrt
 - symmetrisch Bernoulli-, 44
- Laplace-Annahme, 4
- Mächtigkeit, 2
- Median, 24
- Monotonie, 6
- paarweise disjunkte Mengen, 4
- Poisson-Verteilung, 38
- Potenzmenge, 2
- Produktmaß, 32
- Produktraum, 32
- Quantil, 24
- σ -Additivität, 4
- σ -Algebra, 3
- σ -Stetigkeit von oben, 6
- σ -Stetigkeit von unten, 6
- σ -Subadditivität, 6
- Unabhängigkeit
 - einer Folge von Ereignissen, 10
 - einer Folge von Zufallsvariablen, 15
 - paarweise, 11
 - zweier Ereignisse, 10
- Verteilung
 - diskret, 33
- Verteilungsfunktion, 13
 - empirisch, 19
- Wahrscheinlichkeitsfunktion, 27
- Wahrscheinlichkeitsmaß, 4
- Wahrscheinlichkeitsraum, 4
 - diskret, 27
- Wahrscheinlichkeitsverteilung, 4
- Zufallsvariable, 12
 - arcussinus-verteilt, 60
 - Bernoulli-verteilt, 33
 - binomialverteilt, 35
 - diskret, 33
 - geometrisch verteilt, 41
 - gleichverteilt, 19
 - hypergeometrisch verteilt, 38
 - Poisson-verteilt, 38

- Realisierung, 18
- symmetrisch Bernoulli-verteilt, 44
- Zufallsvariablen
 - identisch verteilt, 13, 15
 - iid, 16
 - Realisierung, 18
- Zufallszahlen, 20